

پردازش تصویر هوشمند و بهینه سازی روش‌های کانولوشن با استفاده از سیستم‌های فازی

یاسر محمدیان روشن

کروه مهندسی برق دانشکده مهندسی، دانشگاه فردوسی مشهد
mohamadian@kiaecee.org

آرمان کیانی

کروه مهندسی برق دانشکده مهندسی، دانشگاه فردوسی مشهد
kiani@kiaecee.org

چکیده:

این مقاله روشی در زمینه‌ی پردازش تصویر بر مبنای مجموعه‌ای از قواعد فازی ارائه می‌دهد. این قواعد به کمک نتایج ناشی از عملگرهای convolutional نوعی نگاشت بین عملگرهای کلاسیک و تصویر را برقرار می‌کنند. دلیل انتخاب فیلترهای آسان بودن پیاده سازی آنهاست. نتایج عملی بیانگر کاربردهای این روش است.

واژه‌های کلیدی: پردازش تصویر، قواعد فازی، توابع عضویت، gray-level

مقدمه

خواسته‌ی ما در پردازش تصویر انجام یک سری اصلاحات بر روی یک تصویر است، تا برای انسان واضح و کاربردی‌تر باشد و یا برای استخراج اطلاعات لازم برای راهنمایی یک سیستم خودکار استفاده می‌شود.^[۱] برای این کار، می‌توان دانش در زمینه‌ی م مختلف علمی مانند ریاضیات، فیزیک، فیزیولوژی، مهندسی و غیره را برای رسیدن به نتایجی بهتر در زمینه‌ی افزایش کیفیت، فشرده سازی، ترمیم و بخش‌بندی تصویر به کار گرفت.

همان طور که واضح است، ارائه یک راه حل بهینه برای غلبه بر مشکل ما را به استفاده از تمامی عملگرها و امکانات وادار می‌کند. لذا در این مقاله ما به روش اشاره می‌کنیم که از روش استنتاج انسانی نشات گرفته است. یکی از ویژگیهای برتری روش‌های فازی، clustering می‌باشد که به ما این امکان را می‌دهد که مثلاً یک ناحیه‌ی کوچک تصویر تیزتر شود و یا ناحیه‌ی دیگری غیر ملموس‌تر شود و یا حتی در ناحیه‌ی سوم به تشخیص لبه بپردازیم و به صورتی کاملاً هوشمندانه به آنالیز کل تصویر بپردازیم.

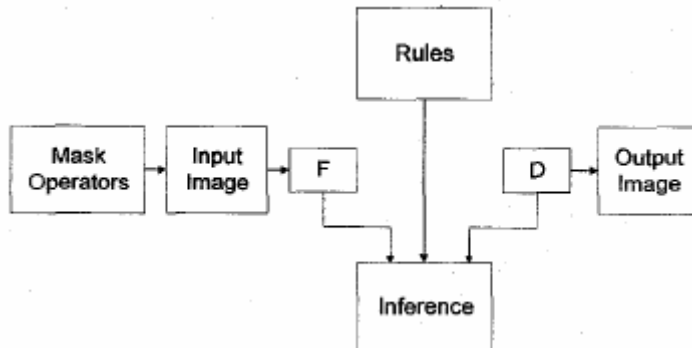
نتایج این روشها ما را به استفاده از سیستم‌هایی هدایت می‌کنند که از بهترین عملگرها بنا به نیازمان استفاده کنیم. استفاده از قوانین IF-THEN فازی ما را کاملاً به روش‌های استنتاج انسانی راهنمایی می‌کند و لذا تخمین خوبی برای محاسبات خواهد بود. روش‌های فازی در بسیاری از کاربردهای پردازش تصویر مانند enhancement، edge-detection (تشخیص لبه) و یا

فشرده سازی تصویر استفاده شده است که توضیحات بیشتر در بخش معرفی مراجع آمده است.

اعمال مختلفی برای مرتبط کردن تکنیکهای فازی و پردازش تصویر وجود دارند. در هر کدام از آنها زمینه‌ی خاص مهمی مانند AFAM افزایش کیفیت، فیلتر^[۲]، تشخیص لبه^[۳،۴] و یا فشرده سازی تصویر وجود دارد. خصوصاً روش آخر از Discrete Cosine Transform (DCT) برای انتخاب کردن پارامترهای Adaptative Fuzzy Associative Memories استفاده می‌کند.

سیستم ایجاد شده

تصویر شماره ۱ نحوه‌ی استفاده‌ی منطق فازی را در این روش بیان می‌دارد. تصویر ورودی به کمک یک ماسک به صورت نقطه به نقطه پردازش می‌شود و ماتریس خروجی که به صورت مجموعه‌ای از gray-level crisp ها می‌باشد وارد یک سیستم فازی با MF های خاصی می‌شود و سپس توسط یک سیستم استنتاج هوشمند و قوانین IF-THEN، تصویر پردازش شده و پاسخ نهایی به کمک defuzzification به صورت خروجی در خواهد آمد.



تصویر ۱ : سیستم فازی (8،9). F و D به ترتیب به معنای Fuzzification و Defuzzification هستند.

همان طور که گفته شد ما از سه ماتریس فیلتر به طور هوشمند برای پردازش تصاویر استفاده می‌کنیم. این سه فیلتر عبارتند از : ۱- فیلترهای آرام کننده (Smoothing) ۲- فیلترهای تیز کننده (Sharpening) ۳- فیلترهای تشخیص لبه (Edge Detection). فیلتر آرام کننده برای مات کردن و کاهش نویز بکار می‌رود. این فیلتر در واقع یک ماتریس 3×3 است که میانگین همسایه‌های یک pixel را بجای gray-level خود آن قرار می‌دهد. فیلتر تیزکننده نیز وظیفه‌ی تقویت جزییات ریز تصویر یا ارتقاء جزییاتی را دارد که بر اثر خطأ و یا در نتیجه‌ی یک روش تصویربرداری خاص مات شده‌اند، که توسط فیلترهای تقویت بالا (high-boost) می‌توان به نتایج بهتری رسید. و بالاخره استفاده از فیلترهای سوبل (Sobel) برای تشخیص لبه‌ها در ابعاد 3×3 است. توجه شود که اغلب ماتریس‌های ماسک دارای ابعاد فرد هستند، چون پیاده سازی ماسک‌هایی با ابعاد زوج بسیار پیچیده و مشکل است [۱]. نمونه‌ای از قواعد فازی به کار رفته را در شکل ۲ می‌بینید.

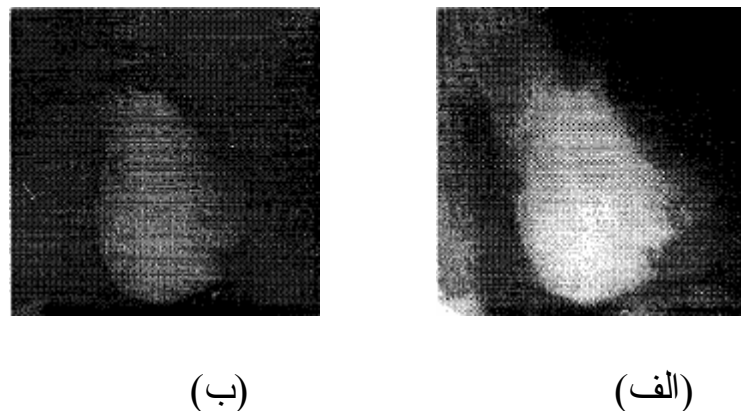
```

if edges is SMALL and high-boost is SMALL and
smoothing is SMALL then p(i,j) is SMALL
if edges is SMALL and high-boost is SMALL and
smoothing is BIG then p(i,j) is BIG
if edges is BIG and high-boost is BIG and
smoothing is MEDIUM then p(i,j) is BIG
if edges is MEDIUM and high-boost is BIG and
smoothing is BIG then p(i,j) is BIG.
  
```

تصویر ۲ : نمونه‌ای از قواعد که در آنها P(i,j) بیانگر یک نقطه pixel () از تصویر نهایی است.

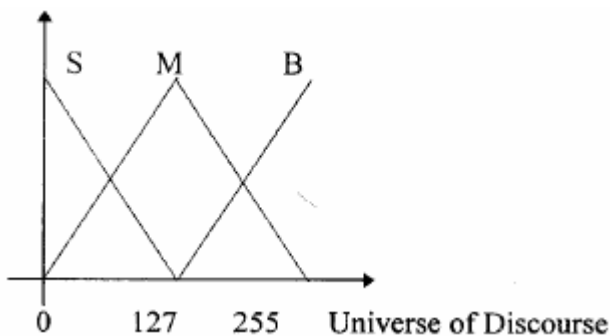
آزمایش ها و نتایج

۳.۱ - تصویر پزشکی: یک تصویر کرونر به عنوان تصویر اول انتخاب شده است که آنرا در تصویر الف-۳ می بینید. هدف انتخاب ناحیه‌ی مرکزی روش آن است. همان طور که در تصویر ب-۳ دیده می شود تمام نقاطی که در درون ناحیه‌ی روش قرار دارند دارای gray-level ی به مراتب بالاتر از مناطق تاریک هستند. لذا برای ما امکان آستانه گیری (thresholding) بوجود می آید و به سادگی می توان به این ناحیه دست یافت.



تصویر ۳ : (الف) تصویر اصلی (ب) تصویر پردازش شده

شکل ۴ توابع عضویتی که در این قسمت استفاده شده اند را نشان می دهد. این توابع بیانگر میزان تعلق یک gray-level در بازه ۰-۲۵۵ به سه مجموعه‌ی فازی (big ، medium ، small) هستند. حال با توجه به قواعد مقدم (antecedent) دلخواه فیلتر کردن می تواند در تصویر نهایی مقداری داشته باشد.

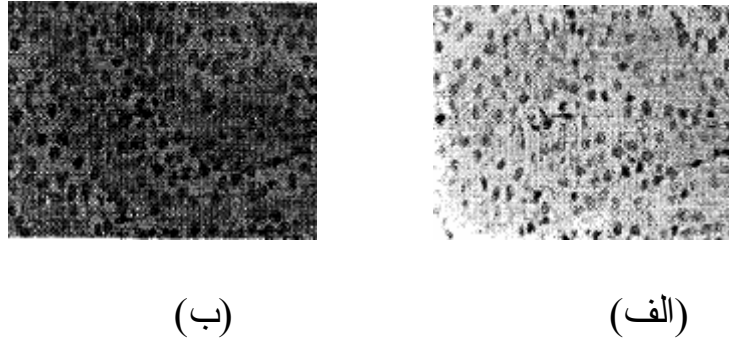


تصویر ۴ : توابع عضویت تصویر ۲

۳.۲- تصویر یک سلو: این تصویر شامل دو کلاس می باشد : ۱- هسته : که مقادیر gray-level پایینی دارد. ۲- خارج از هسته : که مقادیر gray-level بالایی دارد. هدف جداسازی هسته از باقی تصویر است که در نگاه اول به نظر می رسد با یک عمل ساده قابل حصول باشد اما با دقت بیشتر در می یابیم نقاط روش بسیاری در نواحی هسته‌ها و نقاط تاریکی در thresholding

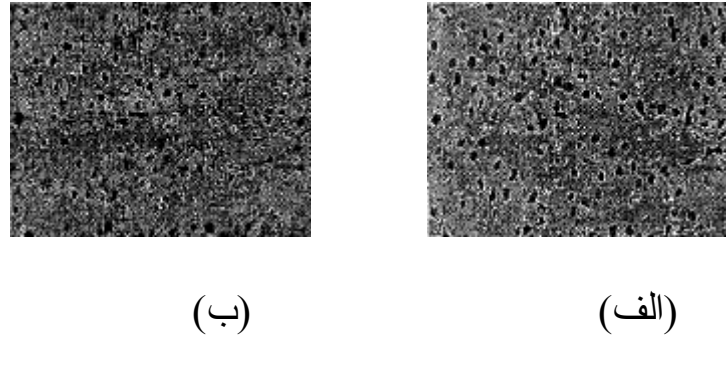
باقی قسمتها به چشم می خورد که به عنوان نویز محسوب می شوند و لذا وجود روشی انعطاف پذیر(flexible) ضروری به نظر می رسد.

از اینرو سیستمی فازی برای تقسیم تصویر به دو کلاس هسته و خارج از هسته مورد استفاده قرار می گیرد. برای این سیستم قاعده ای فازی بکار رفته دو حالت ممکن را دارا است : (در ناحیه i بزرگ و یا کوچک است (در ناحیه i روشن و یا تاریک تصویر هستیم). نتیجه P در تصویر J - i دیده می شود.



تصویر ۵ : (الف) تصویر اصلی (ب) تصویر پردازش شده

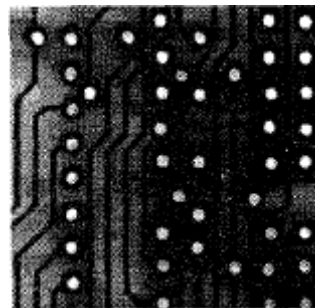
همان طور که در تصویر پردازش شده می بینیم برای افزایش کیفیت تصویر نهایی از threshold و تشخیص لبه استفاده کرده ایم. نتیجه در تصویر الف-۶ دیده می شود. مقایسه ای تصویر نهایی با تصویر که با کمک تکنیک watershed بدست آمده را در شکل ب-۶ می بینید.



تصویر ۶ : (الف) نتیجه ی پردازش فازی (ب) نتیجه ی watershed

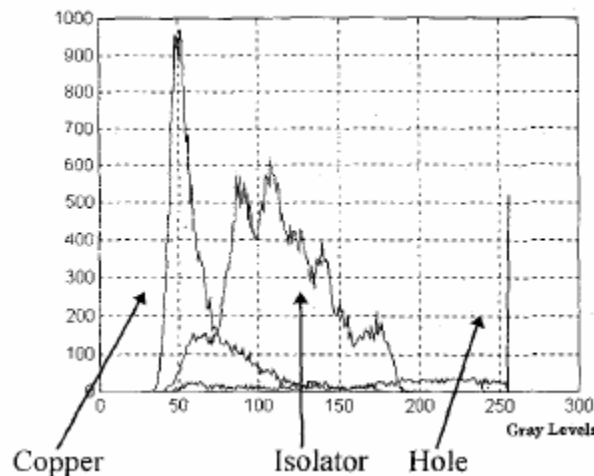
3.1- تصویر برد مدار چاپی: تصویر بعدی تصویر یک برد مدار چاپی است (تصویر ۷). که ۳ طبقه ی نقاط مختلف در آن قابل مشاهده است. ۱- مس ، gray-level های تیره ۲- عایق ، gray-level های متوسط ۳- حفره ، gray-level های روشن . در این آزمایش هدف جداسازی این ۳ طبقه است به طوریکه تصویر نهایی از جدول زیر پیروی کند :

$$\begin{array}{lcl}
 \text{نقطه} & \in & \text{طبقه مسی} \\
 \text{نقطه} & \in & \text{طبقه عایق} \\
 \text{نقطه} & \in & \text{طبقه حفره}
 \end{array} \Rightarrow \begin{array}{l}
 \text{Gray-level} = 0 \\
 \text{Gray-level} = 127 \\
 \text{Gray-level} = 255
 \end{array}$$

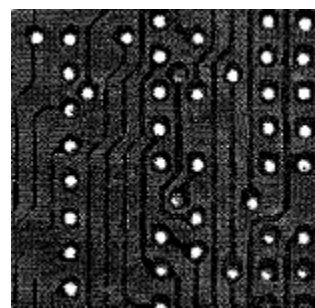


تصویر ۷ : برد مدار چاپی PCB

اگر هیستوگرام این شکل را رسم کنیم (تصویر ۸) مشخص می شود که هر سه طبقه بر روی هم افتد و لذا با عمل thresholding به خوبی قابل جداسازی نیستند. پس به کمک یک روش جداسازی (Bayesian filtering) [۱۰] تصویر مطلوب ساخته شده ولی ضعفهایی در شناسایی مناطق مشهود است.

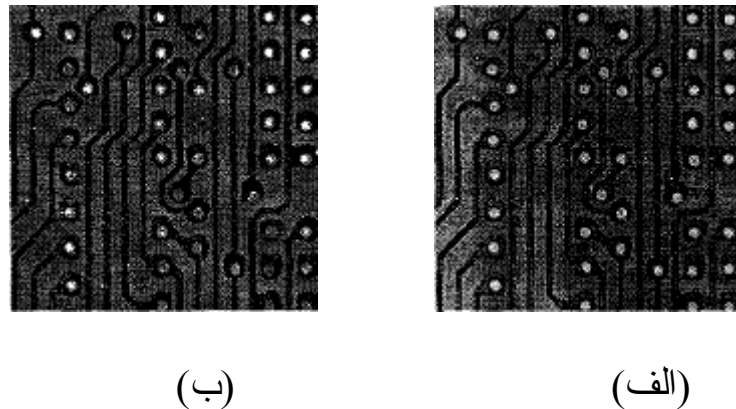


تصویر ۸ : هیستوگرام هر سه طبقه



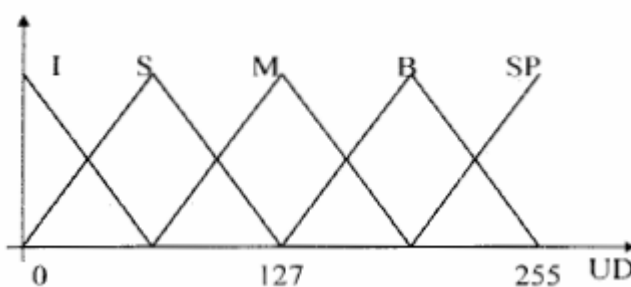
تصویر ۹ : تصویر نهایی با کمک Bayesian classification

در تصویر الف-۱۰ نتیجه‌ی پردازش یک تصویر PCB با کمک سیستم فازی و در تصویر ب-۱۰ تصویر نهایی threshold شده دیده می‌شود. همان طور که مشاهده می‌شود نتایج تشخیص مناطق مسی بهبود یافته اما نتایج شناسایی حفره‌ها تضعیف شده است.



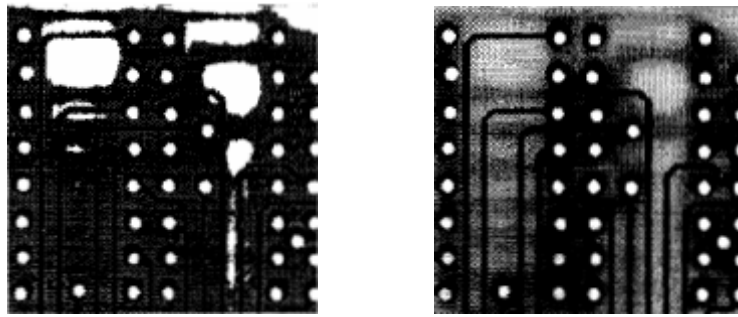
تصویر ۱۰ : (الف) تصویر پردازش شده ی فازی (ب) تصویر نهایی threshold شده

در ابتدا سعی شده بود تمام محاسبات با توابعی که در شکل ۴ دیده می‌شوند انجام شود اما نتایج بدست آمده چندان رضایت‌بخش نبود. توابع عضویت جدید پیشنهادی برای جداسازی نواحی مسی و عایق از هم در شکل ۱۱ نشان داده شده‌اند. هر چند تابع جدید از لحاظ شکل مانند MF‌های قبلی هستند اما می‌توانند کمبود دانش را در جایی که gray-level های مشترک میان طبقه‌هایی که می‌خواهیم تشخیص دهیم زیاد باشد، بهبود داد.



تصویر ۱۱ : توابع عضویت تعریف شده برای شکل ۸
UD = Universe of Discourse

در تصویر ۱۲ روش کلاسیک Bayesian classification بر مبنای هیستوگرام شکل ۷ بر PCB دیگری که در تصویر الف-۱۲ دیده می‌شود پیاده شده است. نتیجه در تصویر ب-۱۲ دیده می‌شود. همان طور که می‌بینید روش Bayesian classification باعث شده است که حفره‌ها واضح‌تر دیده شوند و در عوض اطلاعات زیادی از مس‌ها و عایق‌ها از بین بروند.

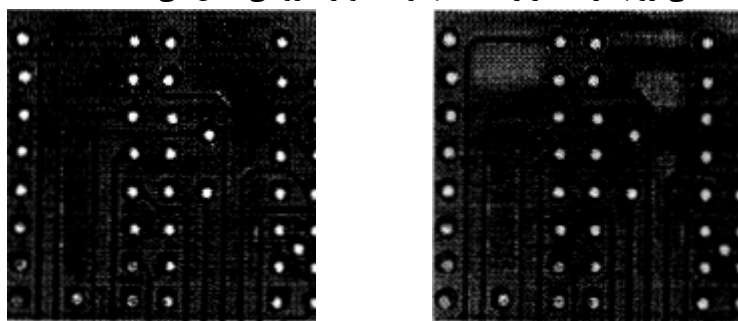


(ب)

(الف)

تصویر ۱۲ : (الف) PCB جدید (ب) نتیجه‌ی Bayesian classification

PCB پردازش شده با کمک MF های جدید در شکل ۱۳ دیده می شود. با توجه به انعطاف پذیری (flexibility) سیستم های فازی می بینیم که سیستم با تغییرات روشنایی (contrast) بهتر تطبیق می یابد. در زمینه‌ی تعریف مناسب توابع عضویت (MF) دانش کمی و داده‌های کیفی رویه‌مرفته در راستای بهبود تصویر خروجی عمل می کنند.



(ب)

(الف)

تصویر ۱۳ : (الف) نتیجه‌ی پردازش فازی (ب) تصویر جدا شده (segmented)

نتیجه گیری

به کمک مجموعه‌ای از فیلتر ها می توانیم ناحیه‌های خاصی از تصویر را پردازش کنیم. برای این کار از قوانین IF-THEN فازی بهره می گیریم. لذا تنها به کمک تجربه می توان مقدار مورد نیازی MF تعریف کرد تا بدون نیاز به دانش کمی درباره‌ی تصویر، آنرا پردازش کنیم. برای جداسازی نواحی تصویر (segmentation)، از آنجایی که استنتاج بر اساس اشتراک و اجتماع یک سری MF می باشد لذا وظیفه‌ی سیستم فازی اینست که gray-level های مربوط به یک IF-THEN را نزدیک بهم کرده و در نتیجه عمل threshold کردن راحت‌تر انجام می شود.

فهرست مراجع و مأخذ:

- [1] R. C. Gonzalez, R. E. Woods, "Digital Image Processing", Addison-Wesley, 1993.
- [2] C. Y. Tyan, P. P. Wang, "Image Processing -Enhancement, Filtering and Edge Detection Using Fuzzy Logic Approach", Proc. Second Int'l Conf. Fuzzy Systems, vol. I, pp. 600-605, San Francisco, 2000.
- [3] C. Tao, W. E. Thompson, "A Fuzzy If-Then Approach to Edge Detection", Proc. Second Int'l Conf. Fuzzy Systems. vol. **11**, pp. 1356 - 1360 San Francisco, 1993.
- [4] T. Law, H. Itoh, H. Seki, "Image Filtering, Edge Detection, and Edge Tracing Unsing Fuzzy Reasoning" IEEE Pattern Analysis and Machine Intelligence, vol. 18, no. 5, May 1996.
- [5] B. Kosko, "Neural Networks and Fuzzy Systems", Prentice Hall, 1992.
- [6] W. Pedrycz, F. Gomide, "Fuzzy Systems", Basic Material of the course Fuzzy Systems - IA861 - UNICAMP, 1996.
- [7] J. M. Mendel, "Fuzzy Logic Systems for Engineering: A Tutorial" Proceedings of the IEEE, vol. 83, n. 3, March 1995.
- [8] G. Viot, "Fuzzy Logic in C", Dr. Dobb's Journal, February, 1993.
- [9] J. A. R. Tucker, P. Fraley, L. P. Swanson, "Fuzzy Logic in C: An Update", Dr. Dobb's Journal, April, 2001.
- [10] R. O. Duda, P. E. Hart, "Pattern Classification **and** Scene Analysis" John Wiley & Sons, 2000.